

# ВЛИЯНИЕ ФОТОН-НЕЙТРИННЫХ ПРОЦЕССОВ НА ОСТЫВАНИЕ МАГНИТАРА

*Д. А. Румянцев\**, *М. В. Чистяков\*\**

*Ярославский государственный университет им. П. Г. Демидова  
150000, Ярославль, Россия*

Поступила в редакцию 21 марта 2008 г.

Рассмотрено влияние сильно замагниченной плотной плазмы на фотон-нейтринные процессы  $\gamma e^\pm \rightarrow e^\pm \nu \bar{\nu}$ ,  $\gamma \rightarrow \nu \bar{\nu}$  и  $\gamma \gamma \rightarrow \nu \bar{\nu}$ ; получены инвариантные амплитуды реакций  $\gamma e^\pm \rightarrow e^\pm \nu \bar{\nu}$  и  $\gamma \gamma \rightarrow \nu \bar{\nu}$ . В частном случае холодной плазмы вычислены вклады рассматриваемых процессов в нейтринную светимость. Показано, что при таких условиях вклад в нейтринную излучательную способность процесса  $\gamma \gamma \rightarrow \nu \bar{\nu}$  будет сильно подавлен по сравнению с вкладами фотонейтринного процесса и процесса конверсии фотона. Исходя из возможной модификации кривой охлаждения нейтронной звезды за счет изменения нейтринной светимости в сильном магнитном поле, делается предположение об ограничении на величину индукции магнитного поля во внешней коре магнитара.

PACS: 95.30.Cq, 14.70.Bh, 13.15.+g

## 1. ВВЕДЕНИЕ

Изолированные нейтронные звезды с магнитными полями, значительно превышающими критическое значение  $B_e = m^2/e \approx 4.41 \cdot 10^{13}$  Гс<sup>1)</sup>, называемые также магнитарами, являются одними из самых удивительных образований в нашей Вселенной. Недавние наблюдения [1–4] позволяют, в частности, отождествить некоторые астрофизические объекты (SGR и AXP) с магнитарами. В окрестности таких объектов возможно существование как сильного магнитного поля  $10^{14}$ – $10^{16}$  Гс [5–7], так и относительно горячей и плотной электрон-позитронной плазмы [5]. Кроме того, в недрах магнитаров, так же как и в обычных нейтронных звездах, по-видимому, присутствует сверхплотная материя из электронов, протонов, нейтронов и других, возможно даже экзотических, частиц [8].

Понимание определяющей роли квантовых процессов в динамике магнитаров стало важнейшим стимулом прогресса в астрофизике элементарных частиц — одной из бурно развивающихся физиче-

ских наук. Особенно важно учитывать воздействие внешнего поля и плазмы на квантовые процессы, где в конечном и начальном состояниях присутствуют электрически нейтральные частицы, такие как фотоны и нейтрино. Воздействие внешнего поля на такие процессы обусловлено как чувствительностью заряженных фермионов (в первую очередь, электронов как частиц с наибольшим удельным зарядом) к влиянию поля, так и тем фактом, что сильно замагниченная плазма существенно меняет дисперсионные свойства фотонов, а значит, и кинематику процессов с их участием.

Поскольку в магнитарах при умеренно больших значениях плотности и температуры ( $T \lesssim 2$  МэВ,  $\rho \lesssim 10^{11}$  г/см<sup>3</sup>)<sup>2)</sup> замагниченная среда является прозрачной для нейтрино, определяющую роль в нейтринном охлаждении будут играть процессы, в которых нейтрино-антинейтринная пара находится в конечном состоянии. Наибольший интерес среди таких процессов представляют аннигиляция электрон-позитронных пар,  $e^+e^- \rightarrow \nu \bar{\nu}$ , фотонейтринный процесс,  $\gamma e^\pm \rightarrow e^\pm \nu \bar{\nu}$ , конверсия фотона в пару нейтрино–антинейтрино,  $\gamma \rightarrow \nu \bar{\nu}$ , а также процесс двухфотонной аннигиляции,  $\gamma \gamma \rightarrow \nu \bar{\nu}$ . Дрeves-

\*E-mail: rda@uniyar.ac.ru

\*\*E-mail: mch@uniyar.ac.ru

<sup>1)</sup> Используется естественная система единиц  $c = \hbar = 1$ ,  $m$  — масса электрона. Везде в работе  $e > 0$  — элементарный заряд.

<sup>2)</sup> Такие условия могут иметь место, например, во внешней коре молодой нейтронной звезды [9].

ный процесс с участием пары  $e^+e^-$  при различных физических условиях достаточно подробно рассматривался в литературе (см., например, обзор [9] и цитированные там работы). Другой древесный процесс,  $\gamma e^\pm \rightarrow e^\pm \nu \bar{\nu}$ , детально исследовался в плазме без магнитного поля в относительно недавней работе [10]. Двухвершинный петлевой процесс  $\gamma \rightarrow \nu \bar{\nu}$  ранее рассматривался в двух предельных случаях сильного магнитного поля без плазмы [11] и в слабо замагниченной плазме (распад плазмона) [12]. Однако детальный анализ и фотонейтринного процесса, и процесса конверсии фотона в сильно замагниченной плазме не проводился. Еще один механизм нейтринного охлаждения, который может представлять интерес — трехвершинный петлевой процесс  $\gamma\gamma \rightarrow \nu \bar{\nu}$ . Как было отмечено в работе [13], в случае зарядово несимметричной плазмы ( $\mu \neq 0$ ) амплитуда этого процесса будет пропорциональна величине магнитного поля, которое является дополнительным катализирующим фактором.

В настоящей работе рассматриваются процессы нейтринного охлаждения в присутствии сильно замагниченной плазмы с учетом дисперсии и перенормировки волновых функций фотонов, когда величина  $\sqrt{eB}$  считается много большей, чем характерные параметры среды: температура  $T$ , химический потенциал  $\mu$  и энергии фотонов и электронов. Более аккуратное соотношение между величиной магнитного поля и параметрами плазмы может быть записано в виде

$$\frac{B^2}{8\pi} \gg \frac{\pi^2(n_{e^-} - n_{e^+})^2}{eB} + \frac{eBT^2}{12}, \quad (1)$$

где  $n_{e^-}, n_{e^+}$  — концентрации электронов и позитронов. В этом случае электроны и позитроны плазмы находятся на основном уровне Ландау. Такие условия могут, в частности, реализовываться в модели вспышки SGR [6, 14], когда горячая ( $T \sim 1$  МэВ) плазма, будучи захвачена сильным магнитным полем, заполняет область размером порядка самой нейтронной звезды или область во внешней части коры нейтронной звезды с сильным магнитным полем. В последнем случае концентрация электронов связана с плотностью вещества  $\rho$  следующим образом:

$$n_{e^-} \approx \frac{m^3}{2\pi^2} \frac{\rho_6 Z}{A}, \quad \rho_6 = \frac{\rho}{10^6 \text{ г/см}^3}, \quad (2)$$

так что при  $Z = 26, A = 56$ , полях  $B \gtrsim 5 \cdot 10^{15}$  Гс и температурах  $T < m$  условие (1) выполняется вплоть до значений плотности вещества порядка  $10^{10}$  г/см<sup>3</sup>.

Структура работы следующая. В разд. 2 рассмотрены дисперсионные свойства фотона в замагниченной среде. В разд. 3 мы получаем амплитуды процессов  $\gamma e^\pm \rightarrow e^\pm \nu \bar{\nu}, \gamma \rightarrow \nu \bar{\nu}$  и  $\gamma\gamma \rightarrow \nu \bar{\nu}$ . Результаты вычислений нейтринной светимости представлены в разд. 4. В разд. 5 обсуждаются возможные приложения полученных результатов к проблеме остывания магнитаров.

## 2. ДИСПЕРСИОННЫЕ СВОЙСТВА ФОТОНОВ В ЗАМАГНИЧЕННОЙ ПЛАЗМЕ

Поскольку мы будем рассматривать процессы в замагниченной плазме, необходимо правильно учитывать влияние среды на фотоны, участвующие в реакции. Это удобно делать в терминах нормальных (собственных) фотонных мод. В свою очередь, поляризационные и дисперсионные свойства нормальных мод напрямую связаны соответственно с собственными векторами и собственными значениями поляризационного оператора. В случае сильно замагниченной плазмы собственные значения поляризационного оператора могут быть получены из результатов работ [15–18] и представлены в следующем виде:

$$\mathcal{P}^{(1)}(q) \approx -\frac{\alpha}{6\pi} \left[ q_\perp^2 + \sqrt{q_\perp^4 + \frac{(6N\omega)^2 q^2}{q_\parallel^2}} \right] - q^2 \Lambda(B), \quad (3)$$

$$\mathcal{P}^{(2)}(q) \approx -\frac{2eB\alpha}{\pi} \left[ H \left( \frac{q_\parallel^2}{4m^2} \right) + \mathcal{J}(q_\parallel) \right] - q^2 \Lambda(B), \quad (4)$$

$$\mathcal{P}^{(3)}(q) \approx -\frac{\alpha}{6\pi} \left[ q_\perp^2 - \sqrt{q_\perp^4 + \frac{(6N\omega)^2 q^2}{q_\parallel^2}} \right] - q^2 \Lambda(B), \quad (5)$$

где

$$\Lambda(B) = \frac{\alpha}{3\pi} \left( 1.792 - \ln \frac{B}{B_e} \right),$$

$$N = \int_{-\infty}^{\infty} dp_z [f_-(E) - f_+(E)],$$

$$\mathcal{J}(q_\parallel) = 2q_\parallel^2 m^2 \int_{-\infty}^{\infty} \frac{dp_z}{E} \frac{f_-(E) + f_+(E)}{(q_\parallel^2)^2 - 4(pq_\parallel)^2},$$

$$E = \sqrt{p_z^2 + m^2},$$

$$f_{\pm}(E) = [e^{(E \pm \mu)/T} + 1]^{-1}$$

— функции распределения электронов (позитронов),

$$H(z) = \frac{1}{\sqrt{z(1-z)}} \operatorname{arctg} \sqrt{\frac{z}{1-z}} - 1, \quad 0 \leq z \leq 1, \quad (6)$$

$$H(z) = -\frac{1}{2\sqrt{z(z-1)}} \ln \frac{\sqrt{z} + \sqrt{z-1}}{\sqrt{z} - \sqrt{z-1}} - 1 + \frac{i\pi}{2\sqrt{z(z-1)}}, \quad z > 1. \quad (7)$$

В пределе сильно вырожденной плазмы ( $T \ll \mu$ ) интегралы  $\mathcal{J}(q_{\parallel})$  и  $N$  вычисляются и могут быть представлены в следующем виде:

$$\begin{aligned} \mathcal{J}(q_{\parallel}) = & -\frac{1}{2\sqrt{z(1-z)}} \times \\ & \times \left( \operatorname{arctg} \frac{v_F - v_{\phi} + zv_F(v_{\phi}^2 - 1)}{(v_{\phi}^2 - 1)\sqrt{z(1-z)}} + \right. \\ & \left. + \operatorname{arctg} \frac{v_F + v_{\phi} + zv_F(v_{\phi}^2 - 1)}{(v_{\phi}^2 - 1)\sqrt{z(1-z)}} \right), \quad 0 \leq z \leq 1, \quad (8) \end{aligned}$$

$$\begin{aligned} \mathcal{J}(q_{\parallel}) = & -\frac{1}{4\sqrt{z(z-1)}} \times \\ & \times \left( \ln \frac{v_F - v_{\phi} + (v_{\phi}^2 - 1)(zv_F - \sqrt{z(z-1)})}{v_F - v_{\phi} + (v_{\phi}^2 - 1)(zv_F + \sqrt{z(z-1)})} + \right. \\ & \left. + \ln \frac{v_F + v_{\phi} + (v_{\phi}^2 - 1)(zv_F - \sqrt{z(z-1)})}{v_F + v_{\phi} + (v_{\phi}^2 - 1)(zv_F + \sqrt{z(z-1)})} \right) - \\ & - \frac{i\pi\theta(v_F|v_{\phi}| - 1)}{2\sqrt{z(z-1)}}, \quad z > 1, \quad (9) \end{aligned}$$

$$z = \frac{q_{\parallel}^2}{4m^2}, \quad v_F = \frac{\sqrt{\mu^2 - m^2}}{\mu}, \quad v_{\phi} = \frac{\omega}{q_z},$$

$$N = 2p_F = 2\sqrt{\mu^2 - m^2}.$$

Здесь 4-векторы с индексами  $\perp$  и  $\parallel$  относятся соответственно к подпространствам Евклида  $\{1, 2\}$  и Минковского  $\{0, 3\}$ , когда поле  $\mathbf{B}$  направлено вдоль оси  $z$ , и определяются следующим образом:  $(ab)_{\perp} = (a\Lambda b) = a_{\alpha}\Lambda_{\alpha\beta}b_{\beta}$ ,  $(ab)_{\parallel} = (a\tilde{\Lambda}b) = a_{\alpha}\tilde{\Lambda}_{\alpha\beta}b_{\beta}$ , где введены матрицы

$$\Lambda_{\alpha\beta} = (\varphi\varphi)_{\alpha\beta}, \quad \tilde{\Lambda}_{\alpha\beta} = (\tilde{\varphi}\tilde{\varphi})_{\alpha\beta},$$

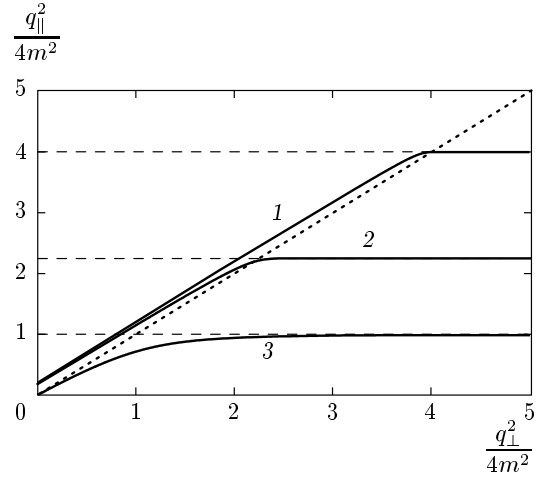


Рис.1. Закон дисперсии фотона моды 2, распространяющегося поперек магнитного поля при  $B/B_e = 200$  в вырожденной ( $T = 0$ ) плазме для различных значений химического потенциала:  $\mu = 1$  (1), 0.75 (2), 0.5 (3) МэВ. Пунктирная линия — вакуумный закон дисперсии,  $q^2 = 0$

связанные соотношением

$$\tilde{\Lambda}_{\alpha\beta} - \Lambda_{\alpha\beta} = g_{\alpha\beta} = \operatorname{diag}(1, -1, -1, -1),$$

$\varphi_{\alpha\beta} = F_{\alpha\beta}/B$  — безразмерный тензор внешнего магнитного поля,  $\tilde{\varphi}_{\alpha\beta} = \varepsilon_{\alpha\beta\mu\nu}\varphi_{\mu\nu}/2$  — дуальный тензор.

Из анализа решений уравнений дисперсии

$$q^2 - \mathcal{P}^{(\lambda)}(q) = 0, \quad \lambda = 1, 2, 3, \quad (10)$$

следует, что в замагниченной плазме и в однопетлевом приближении, так же как и в чистом магнитном поле, физическими являются моды с  $\lambda = 1, 2$  и векторами поляризации<sup>3)</sup>

$$\varepsilon_{\alpha}^{(1)} = \frac{(q\varphi)_{\alpha}}{\sqrt{q_{\perp}^2}}, \quad \varepsilon_{\alpha}^{(2)} = \frac{(q\tilde{\varphi})_{\alpha}}{\sqrt{q_{\parallel}^2}}. \quad (11)$$

Следует подчеркнуть, однако, что совпадение векторов поляризации в плазме и чистом магнитном поле является приближенным, с точностью до вкладов  $O(1/\beta)$  и  $O(\alpha^2)$ . В этом приближении закон дисперсии фотона моды  $\lambda = 1$  практически не отличается от вакуумного,  $q^2 \approx 0$ . С другой стороны, дисперсионные свойства фотона моды 2 существенно отличаются от замагниченного вакуума. На

<sup>3)</sup> Символы 1 и 2 соответствуют продольной ( $\parallel$ ) и поперечной ( $\perp$ ) поляризациям в чистом магнитном поле [19] и  $E$ - и  $O$ -модам в замагниченной плазме [6].

рис. 1 представлен закон дисперсии фотона моды 2 для предельного случая вырожденной ( $T = 0$ ) плазмы. Как можно видеть из рис. 1, в представлении замагниченной плазмы в противоположность случаю чистого магнитного поля для фотона моды 2 возможна ситуация, когда в кинематической области  $q_{\parallel}^2 \leq 4\mu^2$  этот фотон может иметь положительное значение  $q^2$ . Это связано с появлением в плазме собственных колебаний с частотой  $\omega_{pl}$ , которая определяется из уравнения

$$\omega_{pl}^2 - \mathcal{P}^{(2)}(\omega_{pl}, \mathbf{k} = 0) = 0. \quad (12)$$

Этот факт приводит к изменению кинематики различных фотон-нейтринных процессов. Так, в области  $q_{\parallel}^2 < 4\mu^2$  становится возможным процесс конверсии фотона в пару нейтрино-антинейтрино,  $\gamma \rightarrow \nu\bar{\nu}$ .

Отметим еще одну интересную особенность вырожденной замагниченной плазмы. Как видно из формул (7) и (9), в области значений импульсов  $|q_z| < 2p_F$  плазменный вклад в мнимую часть собственного значения поляризационного оператора (4) становится отрицательным, тогда как аналогичный вклад магнитного поля остается все время положительным. Этот факт приводит к смещению порога рождения пар  $e^+e^-$  из области  $q_{\parallel}^2 \approx 4m^2$  в область (см. рис. 1)

$$4m^2 \leq q_{\parallel}^2 \leq 2 \left( \mu^2 - p_F |q_z| + \mu \sqrt{(p_F - |q_z|)^2 + m^2} \right), \quad (13)$$

и корневая сингулярность в выражении для  $\mathcal{P}^{(2)}$  переходит в логарифмическую. Такое поведение дисперсионной кривой в окрестности резонанса напрямую связано с кинематикой рождения пар в замагниченной вырожденной плазме. Действительно, в такой плазме на энергию и импульс электрона мы должны наложить очевидные дополнительные условия, соответственно  $E \geq \mu$  и  $|p_z| \geq p_F$ . Учитывая их в законе сохранения энергии и  $z$ -компоненты импульса для процесса  $\gamma \rightarrow e^+e^-$ , мы вновь придем к результату (13).

Из формулы (4) следует, что собственное значение поляризационного оператора  $\mathcal{P}^{(2)}$  становится большим вблизи порога рождения электрон-позитронной пары (см. рис. 1), что указывает на необходимость учета перенормировки волновой функции фотона этой поляризации:

$$\varepsilon_{\alpha}^{(2)}(q) \rightarrow \varepsilon_{\alpha}^{(2)}(q) \sqrt{Z_2}, \quad Z_2^{-1} = 1 - \frac{\partial \mathcal{P}^{(2)}(q)}{\partial \omega^2}. \quad (14)$$

В заключение этого раздела отметим еще одну из характерных особенностей и чисто магнитного поля,

и сильно замагниченной плазмы, состоящую в следующем: только фотоны одной поляризации (мода 2) из двух возможных будут определять лидирующие по внешнему полю вклады в амплитуды процессов  $\gamma e^{\pm} \rightarrow e^{\pm} \nu \bar{\nu}$ ,  $\gamma \rightarrow \nu \bar{\nu}$  и  $\gamma \gamma \rightarrow \nu \bar{\nu}$ . Этот факт непосредственно следует из структуры матрицы плотности для электронов в сильном магнитном поле (см., например [11]) и будет нами использован ниже при вычислении амплитуд.

### 3. ВЫЧИСЛЕНИЕ АМПЛИТУД

При вычислении амплитуд процессов  $\gamma e^{\pm} \rightarrow e^{\pm} \nu \bar{\nu}$ ,  $\gamma \rightarrow \nu \bar{\nu}$  и  $\gamma \gamma \rightarrow \nu \bar{\nu}$  будем рассматривать случай относительно малых передач импульса по сравнению с массой  $W$ -бозона,  $|q^2| \ll m_W^2$ . Тогда слабое взаимодействие нейтрино с электронами можно описывать в локальном пределе эффективным лагранжианом вида

$$\mathcal{L} = \frac{G_F}{\sqrt{2}} [\bar{e} \gamma_{\alpha} (C_V + C_A \gamma_5) e] j_{\alpha}, \quad (15)$$

где

$$C_V = \pm 1/2 + 2 \sin^2 \theta_W, \quad C_A = \pm 1/2.$$

Здесь верхний знак соответствует электронному нейтрино ( $\nu = \nu_e$ ), когда в реакции происходит обмен  $W$ - и  $Z$ -бозонами. Нижний знак соответствует  $\mu$ - и  $\tau$ -нейтрино, когда присутствует лишь обмен  $Z$ -бозонами;  $j_{\alpha} = \bar{\nu} \gamma_{\alpha} (1 + \gamma_5) \nu$  — ток левых нейтрино.

Для вычисления амплитуды фотонейтринного процесса  $\gamma e^{\pm} \rightarrow e^{\pm} \nu \bar{\nu}$  в пределе сильно замагниченной плазмы удобно использовать амплитуду процесса рассеяния  $\gamma^{(2)} e \rightarrow \gamma^{(2)} e$ . Последняя вычисляется обычным образом с использованием решений уравнения Дирака для электронов на основном уровне Ландау и выражения для пропагатора электрона в сильном магнитном поле и может быть представлена в следующем виде:

$$\mathcal{M}_{\gamma^{(2)} e \rightarrow \gamma^{(2)} e} = - \frac{8m\pi\alpha}{\sqrt{-Q_{\parallel}^2}} \frac{\varepsilon_{\alpha}^{*(2)}(q') \varepsilon_{\beta}^{(2)}(q) T_{\alpha\beta}}{q_{\parallel}^2 + 2(pq)_{\parallel}} + (q \leftrightarrow -q', \varepsilon_{\alpha} \leftrightarrow \varepsilon_{\beta}). \quad (16)$$

Здесь

$$T_{\alpha\beta} = -(q\tilde{\Lambda})_{\alpha} (Q\tilde{\varphi})_{\beta} - (q'\tilde{\Lambda})_{\beta} (Q\tilde{\varphi})_{\alpha} + (q\tilde{\varphi}q')\tilde{\Lambda}_{\alpha\beta} + \varkappa(Q\tilde{\varphi})_{\alpha} (Q\tilde{\varphi})_{\beta},$$

$$Q_{\alpha} = (q - q')_{\alpha}, \quad \varkappa = \sqrt{1 - 4m^2/Q_{\parallel}^2},$$

$$Q_{\parallel}^2 = (q - q')_{\parallel}^2 < 0,$$

$q_{\alpha} = (\omega, \mathbf{k})$  и  $q'_{\alpha} = (\omega', \mathbf{k}')$  — векторы соответственно 4-импульсов фотона и нейтринной пары.

Исходя из вида лагранжиана (15), путем замены вектора поляризации одного из фотонов на вектор нейтринного тока

$$\varepsilon_{\alpha}^{(2)} \rightarrow j_{\alpha} \frac{G_F}{\sqrt{2}e}, \quad T_{\alpha\beta} \rightarrow C_V T_{\alpha\beta} + C_A \tilde{\varphi}_{\alpha\sigma} T_{\sigma\beta}, \quad (17)$$

получим

$$\begin{aligned} \mathcal{M}_{\gamma e^{\pm} \rightarrow e^{\pm} \nu \bar{\nu}} &= 2\sqrt{2} G_F m e \times \\ &\times [C_V (q\tilde{\varphi}j) + C_A (q\tilde{\varphi}\tilde{\varphi}j)] \frac{\sqrt{q_{\parallel}^2 (|Q_{\parallel}^2| + 4m^2)}}{(qq')_{\parallel}^2 - \kappa^2 (q\tilde{\varphi}q')^2}. \end{aligned} \quad (18)$$

Амплитуда процесса конверсии фотона,  $\gamma \rightarrow \nu \bar{\nu}$ , может быть получена из амплитуды процесса  $\nu \rightarrow \nu \gamma$  [20] и представлена в виде

$$\begin{aligned} \mathcal{M}_{\gamma \rightarrow \nu \bar{\nu}} &= \frac{G_F}{\sqrt{2}e} [C_V (q\tilde{\varphi}j) + C_A (q\tilde{\varphi}\tilde{\varphi}j)] \times \\ &\times \frac{\mathcal{P}^{(2)}(q)}{\sqrt{q_{\parallel}^2}}. \end{aligned} \quad (19)$$

Наконец, амплитуда процесса с двумя фотонами,  $\gamma\gamma \rightarrow \nu \bar{\nu}$ , в случае зарядово несимметричной сильно замагниченной плазмы может быть записана следующим образом [13]:

$$\begin{aligned} \mathcal{M}_{\gamma\gamma \rightarrow \nu \bar{\nu}} &= \frac{G_F \sqrt{2} \pi}{e} eB \left(\frac{\alpha}{\pi}\right)^{3/2} \times \\ &\times [C_V (q\tilde{\varphi}j) + C_A (q\tilde{\varphi}\tilde{\varphi}j)] \Pi^{(0)}(q, q', q''), \end{aligned} \quad (20)$$

где

$$\begin{aligned} \Pi^{(0)}(q, q', q'') &= \frac{\sqrt{q'_{\parallel}{}^2 q''_{\parallel}{}^2}}{(q'\tilde{\varphi}q'')} \times \\ &\times \left[ \mathcal{J}_{\perp}^{(-)}(q_{\parallel}, q'_{\parallel}) - \mathcal{J}_{\perp}^{(-)}(-q'_{\parallel}, -q_{\parallel}) - \right. \\ &\quad \left. - \mathcal{J}_{\perp}^{(-)}(-q''_{\parallel}, q'_{\parallel}) - (q' \leftrightarrow q'') \right], \end{aligned} \quad (21)$$

$$\begin{aligned} \mathcal{J}_{\perp}^{(-)}(q_{\parallel}, q'_{\parallel}) &= \\ &= 2m^2 \int_{-\infty}^{\infty} \frac{dp_z}{E} \frac{f_{-}(E) - f_{+}(E)}{[q_{\parallel}^2 + 2(pq)_{\parallel}][q'_{\parallel}^2 + 2(pq')_{\parallel}]}. \end{aligned} \quad (22)$$

Заметим, что интеграл (22) зависит от разности функций распределения электронов и позитронов, и в случае относительно горячей плазмы ( $T \gtrsim \mu$ ) амплитуда (20) будет подавляться фактором  $\mu/T$ , тогда как в амплитудах (18) и (19) этого не происходит.

#### 4. НЕЙТРИННАЯ СВЕТИМОСТЬ

Как уже отмечалось ранее, наблюдаемой величиной в астрофизике является потеря энергии из единицы объема звезды в единицу времени, обусловленная выходом нейтрино (нейтринная излучательная способность — emissivity). Она определяется через амплитуды процессов  $\gamma e^{\pm} \rightarrow e^{\pm} \nu \bar{\nu}$ ,  $\gamma \rightarrow \nu \bar{\nu}$  и  $\gamma\gamma \rightarrow \nu \bar{\nu}$  следующим образом:

$$\begin{aligned} Q_{\gamma e^{\pm} \rightarrow e^{\pm} \nu \bar{\nu}} &= (2\pi)^3 \sum_i \int |\mathcal{M}_{\gamma e^{\pm} \rightarrow e^{\pm} \nu \bar{\nu}}|^2 Z_2 \times \\ &\times \delta^{0,2,3}(q + p_1 - p_2 - p' - p'') (E'_i + E''_i) \frac{d^3 q}{2(2\pi)^3 \omega} \times \\ &\times f(\omega) \frac{1}{L_x} \frac{dp_{1y} dp_{1z}}{2(2\pi)^2 E_1} \frac{dp_{2y} dp_{2z}}{2(2\pi)^2 E_2} \times \\ &\times [f_{-}(E_1)(1 - f_{-}(E_2)) + f_{+}(E_1)(1 - f_{+}(E_2))] \times \\ &\times \frac{d^3 p'}{2(2\pi)^3 E'_i} \frac{d^3 p''}{2(2\pi)^3 E''_i}, \end{aligned} \quad (23)$$

$$\begin{aligned} Q_{\gamma \rightarrow \nu \bar{\nu}} &= (2\pi)^4 \sum_i \int |\mathcal{M}_{\gamma \rightarrow \nu \bar{\nu}}|^2 Z_2 \delta^4(q - p' - p'') \times \\ &\times (E'_i + E''_i) \frac{d^3 q}{2(2\pi)^3 \omega} f(\omega) \frac{d^3 p'}{2(2\pi)^3 E'_i} \frac{d^3 p''}{2(2\pi)^3 E''_i}, \end{aligned} \quad (24)$$

$$\begin{aligned} Q_{\gamma\gamma \rightarrow \nu \bar{\nu}} &= \frac{(2\pi)^4}{2} \times \\ &\times \sum_i \int |\mathcal{M}_{\gamma\gamma \rightarrow \nu \bar{\nu}}|^2 Z'_2 Z''_2 \delta^4(q' + q'' - p' - p'') \times \\ &\times (E'_i + E''_i) \frac{d^3 q'}{2(2\pi)^3 \omega'} f(\omega') \frac{d^3 q''}{2(2\pi)^3 \omega''} f(\omega'') \times \\ &\times \frac{d^3 p'}{2(2\pi)^3 E'_i} \frac{d^3 p''}{2(2\pi)^3 E''_i}. \end{aligned} \quad (25)$$

Здесь  $E'_i, E''_i$  — энергии нейтрино и антинейтрино определенного типа  $i = \nu_e, \nu_{\mu}, \nu_{\tau}$ ;  $E_1, E_2$  — энергии соответственно начального и конечного электрона (позитрона),  $E_i = \sqrt{p_{iz}^2 + m^2}$ ,

$$f(\omega) = [\exp(\omega/T) - 1]^{-1}$$

— функция плотности равновесного фотонного газа при температуре  $T$ ,  $L_x$  — элемент нормировочного объема.

При интегрировании (23) по импульсам нейтрино нужно учесть, что в фотонейтринном процессе не сохраняется компонента импульса вдоль оси  $x$ .

Поэтому удобно ввести в (23) еще один интеграл по 4-импульсу нейтринной пары  $q'$ , содержащий необходимую  $\delta^{(4)}$ -функцию:

$$1 = \int d^4 q' \delta^{(4)}(q' - p' - p''). \quad (26)$$

С учетом этого замечания можно частично проинтегрировать правые части (23)–(25), используя явные выражения для амплитуд (18)–(20). В итоге получим

$$Q_{\gamma e^{\pm} \rightarrow e^{\pm} \nu \bar{\nu}} = \frac{G_F^2 \alpha e B m^2}{24\pi^5} \left[ \overline{C_V^2} + \overline{C_A^2} \right] \times \\ \times \int \frac{d^3 q}{(2\pi)^3 \omega} Z_2 q_{\parallel}^2 f(\omega) \times \\ \times \int dq'_z \omega' q'_{\parallel}{}^6 \frac{|Q_{\parallel}^2| + 4m^2}{[(q_{\parallel} \tilde{\Lambda} q')^2 - \kappa^2 (q_{\parallel} \tilde{\varphi} q')^2]^2} \theta(q'_{\parallel}{}^2) \int \frac{dp_{1z}}{E_1 E_2} \times \\ \times [f_-(E_1)(1 - f_-(E_2)) + f_+(E_1)(1 - f_+(E_2))], \quad (27)$$

где

$$\omega' = \omega + E_1 - E_2, \quad E_2 = \sqrt{m^2 + (p_{1z} + q_z - q'_z)^2},$$

$$Q_{\gamma \rightarrow \nu \bar{\nu}} = \frac{G_F^2}{48\pi^2 \alpha} \int \frac{d^3 q}{(2\pi)^3} Z_2 f(\omega) q^4 \times \\ \times \left[ \overline{C_V^2} q^2 + \overline{C_A^2} q_{\perp}^2 \right] \theta(q^2), \quad (28)$$

$$Q_{\gamma \gamma \rightarrow \nu \bar{\nu}} = \frac{G_F^2 \alpha^2 (eB)^2}{48\pi^3} \int \frac{d^3 q'}{(2\pi)^3 \omega'} Z_2' \times \\ \times f(\omega') \int \frac{d^3 q''}{(2\pi)^3 \omega''} Z_2'' f(\omega'') \times \\ \times (\omega' + \omega'') |\Pi^{(0)}(q' + q'', q', q'')|^2 (q' + q'')_{\parallel}^2 \times \\ \times \left[ \overline{C_V^2} (q' + q'')^2 + \overline{C_A^2} (q' + q'')_{\perp}^2 \right]. \quad (29)$$

Здесь константы  $\overline{C_V^2} = 0.93$  и  $\overline{C_A^2} = 0.75$  появляются в результате суммирования по всем каналам рождения нейтрино типов  $\nu_e, \nu_{\mu}, \nu_{\tau}$ , величина  $\Pi^{(0)}(q, q', q'')$  определяется формулой (21).

Отметим, что при интегрировании по импульсам фотонов в выражениях (27)–(29) важно учитывать нетривиальный закон дисперсии фотона в сильном магнитном поле, который определяется поляризационным оператором фотона. Кроме того, в общем случае необходимо также учитывать большие радиационные поправки, которые сводятся к перенормировке волновой функции фотона,  $Z_2, Z_2'$ , что сильно затрудняет вычисление светимостей.

Однако, если ограничиться рассмотрением случая холодной ( $T \ll \mu$ ) плазмы, выражения для светимостей (27)–(29) можно сильно упростить. Анализ показывает, что при  $T \ll m$  интегралы по импульсам фотонов будут, в основном, набирать свою величину в области вблизи плазменной частоты,  $\omega_{pl}^2 = (2\alpha e B / \pi) v_F$  (см. (12)). Тогда в этой области  $Z_2 \approx Z_2' \approx 1$  и закон дисперсии для фотона второй моды может быть приближенно записан в виде

$$\omega^2 = q_{\perp}^2 + q_z^2 + \omega_{pl}^2. \quad (30)$$

Учитывая (30), рассмотрим нейтринные светимости для каждого процесса в отдельности.

#### 4.1. Процесс $\gamma e \rightarrow e \nu \bar{\nu}$

В случае вырожденной плазмы выражение для светимости (27) можно значительно упростить, если воспользоваться известным соотношением для произведения статистических факторов:

$$f_-(E_1)(1 - f_-(E_2)) \approx \\ \approx \frac{Q_0}{1 - \exp(-Q_0/T)} \delta(E_1 - \mu), \quad (31)$$

где  $Q_0 = \omega - \omega'$ .

Подставляя (30) и (31) в (27) и интегрируя, получим

а) в случае нерелятивистской плазмы,  $\mu \approx m$ ,

$$Q_{\gamma e \rightarrow e \nu \bar{\nu}} \approx \frac{16\pi G_F^2 \alpha e B}{4725m} \left[ \overline{C_V^2} + \overline{C_A^2} \right] \frac{T^9}{p_F} \approx \\ \approx 1.3 \cdot 10^{19} \frac{\text{эрг}}{\text{см}^3 \cdot \text{с}} \frac{B}{B_e} \left( \frac{T}{m} \right)^8 \frac{T}{p_F}; \quad (32)$$

б) в случае релятивистской плазмы,  $\mu \gg m$ ,

$$Q_{\gamma e \rightarrow e \nu \bar{\nu}} \approx \frac{32 G_F^2 m^2 \alpha e B}{3(2\pi)^{11/2}} \left[ \overline{C_V^2} + \overline{C_A^2} \right] \times \\ \times \mu^5 \left( \frac{T}{\omega_{pl}} \right)^{3/2} \left( \frac{\omega_{pl}}{2\mu} + 1 \right) \times \\ \times \int_0^1 dx (1-x) \frac{(\omega_{pl}/2\mu)^2 - x^2}{1 - \exp \left[ -\frac{\mu}{T} \left( \frac{\omega_{pl}}{2\mu} - x \right) \right]}. \quad (33)$$

Отметим, что светимость (32) в случае низких температур сильно подавлена фактором  $(T/m)^8$ .

### 4.2. Процесс $\gamma \rightarrow \nu\bar{\nu}$

После подстановки соотношения (30) в (28) и интегрирования по телесному углу, получаем

$$Q_{\gamma \rightarrow \nu\bar{\nu}} = \frac{G_F^2}{96\pi^4\alpha} \omega_{pl}^4 \int_0^\infty \frac{dk k^2}{\exp\left(\frac{1}{T}\sqrt{k^2 + \omega_{pl}^2}\right) - 1} \times \left[ \overline{C_V^2} \omega_{pl}^2 + \frac{2}{3} \overline{C_A^2} k^2 \right]. \quad (34)$$

Стоящий в правой части (34) интеграл до конца вычисляется в двух предельных случаях:

а) нерелятивистская плазма,  $\mu \approx m$ ,

$$Q_{\gamma \rightarrow \nu\bar{\nu}} \approx \frac{G_F^2}{48\pi^4\alpha} \omega_{pl}^4 T^5 \times \left[ \overline{C_V^2} \zeta(3) \left(\frac{\omega_{pl}}{T}\right)^2 + 8 \overline{C_A^2} \zeta(5) \right], \quad (35)$$

где  $\zeta(x)$  — дзета-функция Римана;

б) релятивистская плазма,  $\mu \gg m$ ,

$$Q_{\gamma \rightarrow \nu\bar{\nu}} \approx \frac{G_F^2}{384\pi^{9/2}\alpha} \omega_{pl}^9 \left[ \overline{C_V^2} \left(\frac{2T}{\omega_{pl}}\right)^{3/2} + \overline{C_A^2} \left(\frac{2T}{\omega_{pl}}\right)^{5/2} \right] \exp\left(-\frac{\omega_{pl}}{T}\right). \quad (36)$$

### 4.3. Процесс $\gamma\gamma \rightarrow \nu\bar{\nu}$

В случае вырожденной плазмы интеграл  $\mathcal{J}_\perp$  (формула (22)) вычисляется и величина  $\Pi^{(0)}$  может быть представлена в виде

$$\Pi^{(0)}(q, q', q'') = \frac{4m^2 \sqrt{q'_{\parallel} q''_{\parallel}}}{q_{\parallel}^2 q'_{\parallel}^2 (q - q')_{\parallel}^2 + 4m^2 (q\tilde{\varphi}q')^2} \times \left[ F\left(\frac{q'_{\parallel}}{4m^2}, \frac{q'_z}{2m}, v_F\right) + F\left(\frac{q''_{\parallel}}{4m^2}, \frac{q''_z}{2m}, v_F\right) - F\left(\frac{q_{\parallel}}{4m^2}, \frac{q_z}{2m}, v_F\right) \right], \quad (37)$$

где

$$F(x, z, v_F) = \ln \frac{x(1-x) + (xv_F - z\sqrt{1-v_F^2})^2}{x(1-x) + (xv_F + z\sqrt{1-v_F^2})^2}.$$

Тем не менее, даже с учетом результата (37), выражение для светимости (29) все еще выглядит громоздко и неудобно для дальнейшего анализа.

Его можно значительно упростить в рассмотренных выше пределах нерелятивистской и релятивистской плазмы. Из формулы (37) получим

$$\Pi^{(0)}(q, q', q'') \approx \frac{2}{m} v_F \sqrt{q'_{\parallel} q''_{\parallel}} \times \frac{q_z \omega^2 - q'_z \omega'^2 - q''_z \omega''^2}{\omega^2 \omega'^2 \omega''^2}, \quad \mu \approx m, \quad (38)$$

$$\Pi^{(0)}(q, q', q'') \approx \frac{2}{m} \left(\frac{m}{\mu}\right)^3 \times \frac{q'_z q'^2_{\parallel} + q''_z q''^2_{\parallel} - q_z q^2_{\parallel} - 4q_z q'_z q''_z}{q_{\parallel}^2 \sqrt{q'^2_{\parallel} q''^2_{\parallel}}}, \quad \mu \gg m. \quad (39)$$

После подстановки (38) и (39) в (29) и несложных вычислений получим для нейтринной светимости следующие выражения:

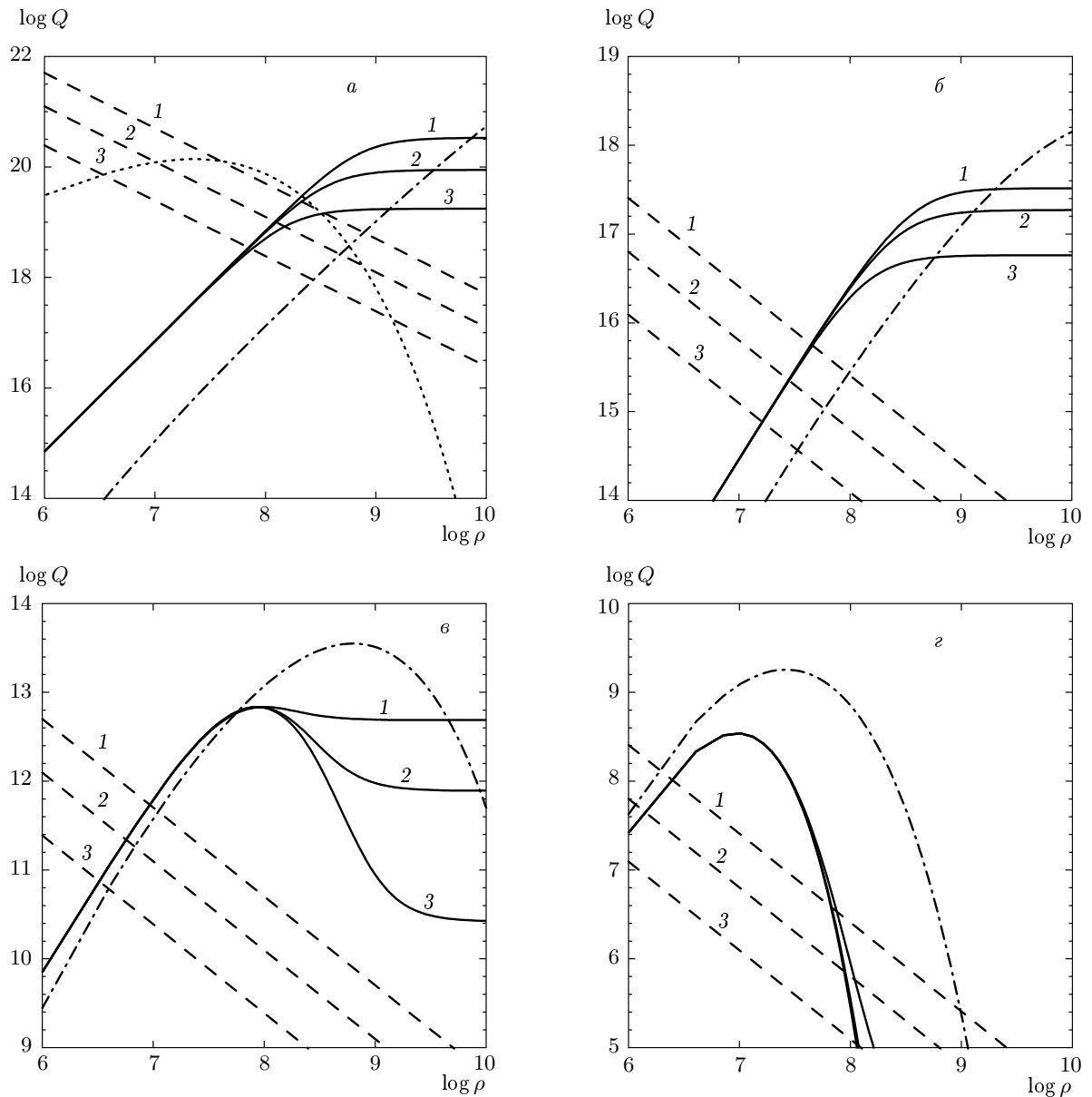
$$Q_{\gamma\gamma \rightarrow \nu\bar{\nu}} \approx 1.15 \cdot 10^{15} \frac{\text{эрг}}{\text{см}^3 \cdot \text{с}} \times v_F^2 \left(\frac{B}{B_e}\right)^2 \left(\frac{T}{m}\right)^7, \quad \mu \approx m, \quad (40)$$

$$Q_{\gamma\gamma \rightarrow \nu\bar{\nu}} \approx \frac{3G_F^2}{2\pi^5 m^2} \alpha^2 (eB)^2 \left(\frac{m}{\mu}\right)^6 \omega_{pl}^3 T^4 \times \left[ \overline{C_V^2} + \overline{C_A^2} \left(\frac{T}{\omega_{pl}}\right) \right] \exp\left(-\frac{2\omega_{pl}}{T}\right), \quad \mu \gg m. \quad (41)$$

Анализ полученных результатов показывает, что нейтринная светимость за счет процесса  $\gamma\gamma \rightarrow \nu\bar{\nu}$  сильно подавлена по сравнению со светимостью за счет процессов  $\gamma e \rightarrow e\nu\bar{\nu}$  и  $\gamma \rightarrow \nu\bar{\nu}$  как в случае нерелятивистской (подавляющий фактор  $v_F^2$ ), так и в случае релятивистской плазмы (подавляющий фактор  $(m/\mu)^6$ ) в достаточно широком интервале температур ( $10^8 \lesssim T \lesssim 3 \cdot 10^9$  К), плотностей ( $10^6 \lesssim \rho \lesssim 10^{10}$  г/см<sup>3</sup>) и магнитных полей ( $B \lesssim 10^{16}$  Гс). Таким образом, возможное влияние процесса  $\gamma\gamma \rightarrow \nu\bar{\nu}$  на скорость остывания магнитара оказывается несущественным.

## 5. ОБСУЖДЕНИЕ

Обсудим полученные результаты. На рис. 2 представлены вклады в нейтринную светимость процессов  $\gamma e \rightarrow e\nu\bar{\nu}$  и  $\gamma \rightarrow \nu\bar{\nu}$  в зависимости от плотности вещества во внешней части коры нейтронной звезды для четырех значений температуры  $T$  и трех значений индукции магнитного поля  $B$ . Кроме того, для сравнения представлены нейтринные светимости за счет процессов аннигиляции пар  $e^+e^-$  (рис. 2а) и



**Рис. 2.** Зависимости вкладов различных процессов в нейтринную светимость ( $\text{эрг}\cdot\text{см}^{-3}\cdot\text{с}^{-1}$ ) от плотности вещества ( $\text{г}\cdot\text{см}^{-3}$ ) в наружном слое замагниченной коры нейтронной звезды при  $T = 3 \cdot 10^9$  (а),  $10^9$  (б),  $3 \cdot 10^8$  (в),  $10^8$  (г) К и  $B = 10^{16}$  (1),  $5 \cdot 10^{15}$  (2),  $2.2 \cdot 10^{15}$  (3) Гс. Сплошные линии — процесс  $\gamma \rightarrow \nu\bar{\nu}$ , штриховые — фотонейтринный процесс, пунктирные — аннигиляция пар  $e^+e^-$  при  $B = 0$  [9], штрихпунктирные — процесс распада плазмона [9]. На рис. 2б–г процесс аннигиляции пар не изображен в силу его малого вклада в нейтринную светимость при данных параметрах

распада плазмона (рис. 2а–г)<sup>4)</sup>. Из рис. 2 видно, что в области малых плотностей  $10^6 \lesssim \rho \lesssim 10^8 \text{ г/см}^3$  основной вклад в нейтринную светимость будет давать фотонейтринный процесс, тогда как при плотностях  $10^8 \lesssim \rho \lesssim 10^{10} \text{ г/см}^3$  начинает доминиро-

вать процесс конверсии фотона,  $\gamma \rightarrow \nu\bar{\nu}$ . Это обусловлено тем, что в области малых плотностей процесс конверсии кинематически подавлен малостью плазменной частоты (см. разд. 2 и формулы (35), (36)). При плотностях, превышающих  $10^{10} \text{ г/см}^3$ , химический потенциал согласно (1) будет больше или порядка  $\sqrt{eB}$ , начинают возбуждаться следующие

<sup>4)</sup> По данным обзора [9].



уровни Ландау и полученные формулы становятся неприменимыми.

Если опираться на модель остывания нейтронных звезд, рассмотренную в обзоре [9], нейтринные процессы в коре нейтронной звезды определяют ее охлаждение в начальной стадии эволюции ( $t \lesssim 10$  лет). А именно, в период  $10^{-2} \lesssim t \lesssim 10$  лет, когда температура упадет ниже  $5 \cdot 10^9$  К, в обычной нейтронной звезде с массой около  $1.5M_{\odot}$  и магнитным полем  $B \lesssim B_e$  доминирующим процессом будет распад плазмона. С другой стороны, как видно из рис. 2а,б, при достаточно сильных полях ( $B \gtrsim 5 \cdot 10^{15}$  Гс) и температурах порядка  $10^9$  К нейтринная светимость за счет процессов  $\gamma e^{\pm} \rightarrow e^{\pm} \nu \bar{\nu}$  и  $\gamma \rightarrow \nu \bar{\nu}$  значительно превышает светимость, вычисленную без магнитного поля [9]. Этот факт может изменить поведение кривой охлаждения магнитара в течение первых десяти лет после его образования и, возможно, звезда в этот период будет остывать значительно быстрее. Если же мы хотим все время оставаться в рамках стандартного сценария охлаждения, т.е. когда вклады в нейтринную светимость за счет процессов  $\gamma e \rightarrow e \nu \bar{\nu}$  и  $\gamma \rightarrow \nu \bar{\nu}$  дают тот же порядок, что и распад плазмона<sup>5)</sup>, то тогда либо величина индукции магнитного поля во внешней части коры молодой нейтронной звезды в среднем не должна превышать  $B \approx 5 \cdot 10^{15}$  Гс, либо модель остывания сильно замагниченной нейтронной звезды нуждается в уточнении. Отметим, что при температурах ниже  $10^9$  К, как видно из рис. 2в,г, ожидать изменения сценария охлаждения за счет модификации замагниченной плазмой фотон-нейтринных процессов не приходится.

В заключение подведем некоторые итоги. Рассмотрено влияние сильно замагниченной плазмы на фотон-нейтринные процессы  $\gamma e^{\pm} \rightarrow e^{\pm} \nu \bar{\nu}$ ,  $\gamma \rightarrow \nu \bar{\nu}$  и  $\gamma \gamma \rightarrow \nu \bar{\nu}$ . Исследовано возможное изменение дисперсионных свойств фотонов при таких условиях. Получены амплитуды и вычислены соответствующие вклады в нейтринную светимость рассматриваемых процессов. В пределе холодной плазмы для светимостей получены простые выражения, которые можно в дальнейшем использовать для расчета остывания замагниченных нейтронных звезд. Рассмотрено возможное влияние реакций  $\gamma e^{\pm} \rightarrow e^{\pm} \nu \bar{\nu}$  и  $\gamma \rightarrow \nu \bar{\nu}$  на модификацию сценария охлаждения нейтронных звезд.

<sup>5)</sup> Другими словами, режим остывания магнитара в период  $t \gtrsim 10^3$  лет был бы таким же, как у обычных нейтронных звезд.

Авторы выражают благодарность Н. В. Михееву, А. В. Кузнецову, А. А. Гвоздеву и И. С. Огневу за полезные обсуждения и ценные замечания.

Работа выполнена в рамках тематического плана научных исследований Ярославского университета по заданию Рособразования при частичной финансовой поддержке РФФИ (грант № 07-02-00285-а) и Совета по грантам Президента Российской Федерации для поддержки молодых российских ученых и ведущих научных школ РФ (гранты №№ НШ-497.2008.2, МК-732.2008.2).

## ЛИТЕРАТУРА

1. C. Kouveliotou et al., *Nature* **393**, 235 (1998).
2. C. Kouveliotou et al., *Astrophys. J.* **510**, L115 (1999).
3. F. P. Gavriil, V. M. Kaspi, and P. M. Woods, *Nature* **419**, 142 (2002).
4. A. I. Ibrahim, S. Safi-Harb, J. H. Swank, W. Parke, and S. Zane, *Astrophys. J.* **574**, L51 (2002).
5. R. C. Duncan and C. Thompson, *Astrophys. J.* **392**, L9 (1992).
6. C. Thompson and R. C. Duncan, *Month. Not. Roy. Astron. Soc.* **275**, 255 (1995).
7. R. C. Duncan and C. Thompson, *Astrophys. J.* **473**, 322 (1996).
8. С. Шапиро, С. Тьюколски, *Черные дыры, белые карлики и нейтронные звезды*, Мир, Москва (1985), с. 1.
9. D. G. Yakovlev, A. D. Kaminker, O. Y. Gnedin, and P. Haensel, *Phys. Rep.* **354**, 1 (2001).
10. N. Itoh, H. Mutoh, A. Hikita, and Y. Kohyama, *Astrophys. J.* **395**, 622 (1992).
11. A. V. Kuznetsov and N. V. Mikheev, *Electroweak Processes in External Electromagnetic Fields*, Springer-Verlag, New York (2003).
12. M. P. Kennett and D. B. Melrose, *Phys. Rev. D* **58**, 093011 (1998).
13. Д. А. Румянцев, М. В. Чистяков, *ЖЭТФ* **128**, 740 (2005).
14. Г. С. Бисноватый-Коган, В. М. Чечеткин, *УФН* **127**, 263 (1979).
15. H. Pérez Rojas and A. E. Shabad, *Ann. Phys. (N.Y.)* **121**, 432 (1979).

16. H. Pérez Rojas and A. E. Shabad, Ann. Phys. (N.Y.) **138**, 1 (1982).
17. У. Перес Рохас, ЖЭТФ **76**, 3 (1979).
18. А. Е. Шабад, Труды ФИАН **192**, 5 (1988).
19. S. L. Adler, Ann. Phys. (N.Y.) **67**, 599 (1971).
20. M. V. Chistyakov and N. V. Mikheev, Phys. Lett. B **467**, 232 (1999).
21. В. В. Скобелев, ЖЭТФ **117**, 1059 (2000).

*Примечание при корректуре.* После того как статья была принята к печати, нам стала известна работа [21], в которой автор, в частности, исследовал рождение нейтринной пары при рассеянии фотона в вырожденном нерелятивистском электронном газе. Однако результат для светимости (56) работы [21] при  $\mu \sim m$ , по нашему мнению, в  $\pi/2$  раз больше.